

(14) 下水汚泥の量と質に関する研究

北海道大学工学部 ○寺町 和宏
高桑 哲男

1 はじめに

下水道の整備に伴ない下水汚泥の発生量は年々増加し、その処理処分が重要な問題となっている。適切な汚泥の処理処分にとって汚泥の質を知ることはまず第1に必要なことである。特に下水汚泥の有効利用に際しては汚泥の質としての重金属濃度が最大の関心事となっているにもかかわらずその変動と影きよう因子については未だ不明な点が多い。筆者らは広く都市代謝における下水道システムと重金属の問題を取扱ってきたが、本論文では実際処理場の余剰汚泥の量及び質の変化を中心に考察したものである。

2 活性汚泥の量と質に関わる基礎的認識

活性汚泥の生成量に関わる因子をその構成要素からみると以下のようなになる。

$$\text{活性汚泥の生成量} = a_1 \times \text{無機土壌粒子} + a_2 \times \text{浮遊性有機物} + a_3 \times \text{溶解性有機物} \quad (1)$$

$$\text{MLSS (mg/l)} \quad \text{SS (mg/l)} \quad \text{S (mg/l)} \quad \text{BOD (mg/l)}$$

ここで各係数は活性汚泥への転換率を表わす。おおよその値として $a_1 = 1.0$, $a_2 = 0.5 \sim 1.0$, $a_3 = 0.4 \sim 1.0$ と考えられているが特に a_2 については未知な点が多く、又 a_3 について 1.0 に近いものは dispersion type (対数増殖系) の活性汚泥系において考えられ(筆者らのグルコースによる実験では¹⁾ グルコースの BOD を 60% とすれば a 値として 1.0 が得られる) 多くの場合 1 より小さく処理方式や下水中の有機物組成により大きく変わるものである。重金属濃度からみれば無機土壌粒子については文献²⁾ を参照されたい(一部後述)。浮遊性有機物は元来食物由来のものと考えられその重金属濃度は極めて低いものである³⁾ が水系よりの重金属の吸着、捕集力は大きいので流下過程での変化は無視できない。またその難分解性の故に食物連鎖としての生物濃縮率は全体としてそれ程大きくはないであろう。それに対して溶解性有機物からの汚泥は重金属濃縮率が高く濃縮係数は 10^3 オーダーとなる³⁾。このように 3 種類の汚泥の構成割合が活性汚泥の量と質を決めるということができる。以下に無機性汚泥を除き生物化学的反応条件により変動する有機性汚泥の発生量と重金属濃度の概要を記述する。有機性余剰汚泥発生量は通常、有機物負荷、除去率及び水温により変動すると考えられており、水温と有機物浄化率の関係については種々報告されているが生成汚泥量についてはあまり言及されていない。筆者らの研究¹⁾によれば汚泥発生量は水温による内生呼吸(自己酸化)の変化量によって大きく支配されている、つまり水温の低い冬期には汚泥の発生量が増大し夏期には減少することになる。重金属に関してその除去率は下水有機物や微生物との親和性、吸着性の故に水温の影きようを大きく受けるとは考えにくい。それらのことを示す実験的結果を表-1, 2 に示す。表-1 は人工複合基質を用い水温を 10°C と 20°C とし他の条件はすべて一定として回分馴養した汚泥の重金属濃度であり、表-2 は実際下水処理場の活性汚泥混合液の水温を 10°C 及び 20°C

に維持して 5 日間空曝気させたものである。いづれの場合にも重金属濃度は水温が高い方が高くなっている、汚泥生成量と重金属濃度は逆の関係になっていると考えられる。又表-2 に示すように汚泥濃度減少率と重金属濃度増加率がほぼ一致していることから脱着や溶出はそれ程大きくはないと考えられる。(水温が一定の場合の有機物負荷と重金属濃度の関係⁴⁾ は表-1, 2 の結果と同義である)。そこで次に実際下水処理場において有機物負荷と汚泥発生量の関係について検討しておくことが、汚

| 水温 | 水温と人工活性汚泥の重金属濃度 (%) | | | | | |
|------|---------------------|----|-----|----|------|------|
| | Fe | Mn | Zn | Cu | Ca | Mg |
| 10°C | 14.45 | 47 | 387 | 17 | 8200 | 1850 |
| 20°C | 19.85 | 57 | 426 | 24 | 4140 | 2630 |

表-2 自己酸化による重金属濃度変化 (mg/kg)

| | Fe | Mn | Zn | Cu | Ca | Mg | MLSS |
|----------------|--------|-------|-------|------|--------|-------|------|
| 自己酸化前 | 56.800 | 19.15 | 8.15 | 1.48 | 7.000 | 4.000 | 5450 |
| 10°C | 67.250 | 2.60 | 9.70 | 1.79 | 9.800 | 5.170 | 4645 |
| MLSSの減少率で増加する上 | 65.000 | 22.00 | 9.35 | 1.64 | 8.085 | 4.590 | |
| 20°C | 74.680 | 29.10 | 10.95 | 1.98 | 11.500 | 5.780 | 8970 |
| MLSSの減少率で増加する上 | 71.970 | 2.635 | 10.88 | 1.82 | 8.900 | 5.090 | |

泥の重金属濃度を比較(評価)する上で必要となる。

3 汚泥生成量に関する一考察

(1) 下水処理場の違いと有機性余剰汚泥発生量

一般に、汚泥発生量は浮遊物質濃度とその除去率で計算されているが、以下に有機物量を考慮した有機性余剰汚泥発生量について実際処理場のデータをもとに検討する。BOD-SS負荷が同程度の標準活性汚泥法による下水処理場として札幌市創成川下水処理場(S)、豊平川下水処理場(T)、帯広市帯広川下水処理場(O)を選んだ。年平均の維持管理の概要を表一

表一に示す。有機性余剰汚泥発生量は、余剰汚泥濃度×余剰汚泥量×VSS(%)これに高級処理水量×処理水SS×VSS(%)を加えたものである。又処理水のBODはSS由来と考え流入BOD=除去BODと考えた。処理条件をS処理場に合せて比較するために以下のようないくつかの汚泥発生量の補正を行なう。水温の違いは小さく、比内生呼吸速度にも大きな差は無かつたので、汚泥発生量として次式を考えると、

$$\Delta S = a L_r - b X \quad (2)$$

ΔS : 汚泥発生量 [Kg] , a : 真の転換率 [$KgVSS / KgBOD$] , L_r : 除去BOD量 [Kg]
 b : 自己酸化速度、 X : 曝気槽内汚泥量 [Kg]

曝気槽内汚泥量の違いとして bX 項を補正することになる。 b 値は実測した比内生呼吸速度 b [$O_2 mg/l / hr \cdot gMLVSS$] を細胞の O_2 当量 1.42 で割ったものを用いた。ひと月当たりの計算例としてO市の場合を示すと、曝気槽内汚泥濃度が低いことにより実測発生汚泥量に対してマイナスに働く量は、

$$4.14 \times 10^{-6} \times 9030 \times 6 \times 24 \times 30 \div 1.42 = 1.137 \times 10^4 [Kg] \text{ となる。}$$

結果を表一及び図一に示した。図一に見られるようにBOD及びSS負荷量当りの有機性汚泥発生量に良い相関は見られない。それに対してマクロな下水質の違いとしてSS/BOD比を考えSS/BOD比と処理水量当りの汚泥発生量の関係でみると図二のようになり良い相関がみられた。結果としてこれは(1)式からも予想されることである。一方重金属濃度に関してみれば流入濃度が同じ場合SS/BOD比が低い程重金属濃度が高くなることを示唆するものである。

(2) 下水処理場における真の転換率及び水温変化と汚泥発生量

S下水処理場における通日実験調査により真の転換率 a を求めた。まず曝気槽流入BOD負荷量に対する基質呼吸量[全呼吸量より内生呼吸量を差引いたもの(1-基質呼吸量 ÷ 1.42 / BOD負荷量)]が(2)式における真の転換率 a となる]を求めるために曝気槽流程6地点における時間毎の混合液呼吸速度と返送汚泥の呼吸速度を測定した。基質呼吸量の計算において流入BODによって新たに生成する汚泥による内生呼吸量は返送汚泥呼吸速度の時間的減衰を考慮していないこともあつて無視している。実験調査結果をまとめて表五に示す。表の結果を(2)式に用いて a 値を計算すると1.10となつた(CODcr基準では溶解性の処理水濃度1.5として0.686となつた)。次に a 値が水温に関係なく一定¹⁾と仮定し、ひと月毎の平均流入BOD負荷量及び水温と内生呼吸

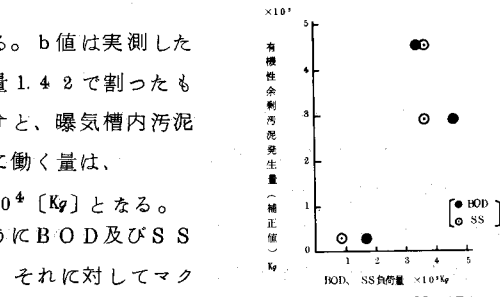
表一 処理場の維持管理状況

| 下水処理場 | 期間 | BOD-SS 負荷 | 曝気槽容量 | MLSS | MLVSS | 水温 | 標高 |
|--------|----------------|--------------|-------|------|-------|------|------|
| 創成川処理場 | S.51年 1~12月 | 0.840 | 20300 | 2246 | 1460 | 18.9 | 32.0 |
| 豊平川処理場 | S.51年 1~12月 | 0.895 | 10200 | 2800 | 1680 | 18.4 | 5.02 |
| 帯広川処理場 | S.51年 1~12月 | 0.878 | 9030 | 1687 | 1046 | 13.5 | 6.27 |

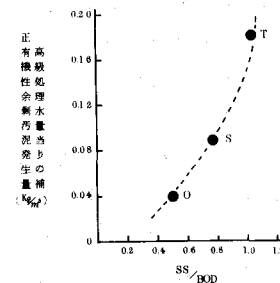
表二 年平均ひと月当りの実績値

| BOD負荷量 a | SS負荷量 b | 有機性余剰汚泥 発生量 c | 間隔 d | d_a | 高級処理水 量 e | d_e |
|---------------------|---------------------|---------------------|--------------------|-------|--------------------|-------|
| 4.63×10^3 | 8.85×10^3 | 2870×10^3 | — | 0.821 | 3102×10^3 | 0.902 |
| 3.88×10^3 | 3.497×10^3 | 3.584×10^3 | 4.55×10^3 | 1.345 | 2522×10^3 | 1.804 |
| 1.706×10^3 | 0.880×10^3 | -8828×10^3 | 8.05×10^3 | 0.243 | 7.7×10^3 | 0.399 |

(kg/月), (kg/m³)



図一 BOD及SS負荷量と有機性余剰汚泥発生量



図二 SS/BOD比と汚泥発生量

表五 下水処理場における酸化分解率に関する通日調査結果*

| 測定時刻 (時) | 9~10 | 11~12 | 14~15 | 18~19 | 22~23 | 4~5 |
|----------------------|-------|-------|-------|-------|-------|-------|
| 曝気槽運転時間 (hr) | 4 | 3.3 | 3.2 | 3.3 | 3.7 | 5.6 |
| ML呼吸量 (m^3/h) | 5.79 | 5.52 | 9.81 | 9.87 | 13.89 | 21.39 |
| BOD比呼吸量 $P_{BOD/呼吸}$ | 1.00 | 1.05 | 1.76 | 1.95 | 1.54 | 1.23 |
| BOD濃度 (MLVSS%) | 51.84 | 36.60 | 6.984 | 6.826 | 7.200 | 4.770 |
| 返送量 (m^3/h) | 3.45 | 3.45 | 3.65 | 3.72 | 3.80 | 3.49 |
| 内生呼吸量 (Kg) | 7.2 | 6.6 | 1.43 | 1.63 | 1.68 | 1.05 |
| 基質呼吸量 A (Kg) | 5.06 | 4.87 | 8.88 | 8.28 | 12.41 | 20.36 |
| BOD流入量 B (Kg) | 8.40 | 1.430 | 20.78 | 10.86 | 29.64 | 30.71 |
| 酸化分解率 A/B | 0.602 | 0.340 | 0.404 | 0.415 | 0.422 | 0.665 |

* 実験期間 1977年7月13~14日、下水処理場の通日調査と同日、水温 19~20°C

有機性余剰汚泥発生量(含處理水SS)=9991(Kg/D)、VSS=72%

速度の関係¹⁾を用いて汚泥発生量を計算した結果と実測値を図-3に示した。

実測値と計算値が良く合っているとは言えず、その主な理由として3~4日に一度のBOD値をもとにした負荷量L_rによるものと思われる。しかしながらBOD負荷量当りの汚泥発生量(図-3)は夏期に低く冬期に高い傾向がみられる。又各月の水温に対応するα値をプロットしたのが図-4である。水温との関係は見られず平均値が0.96で先の実験調査結果1.10に近似していると言えよう。

一方、表-5に示した酸化分解率は初沈流出水BODに占める易分解性の割合を示すものと考えられ平均0.474が得られた。

4 汚泥増殖率及び曝気槽汚泥濃度の変動と重金属濃度

(1) 曝気槽汚泥濃度による変動

重金属の濃縮飽和式⁴⁾を用いて活性汚泥の重金属濃度がMLSS及び汚泥引抜率によって変動する様子を図-5、6に示した。濃縮飽和式を再掲すると、

$$M_t = (X M_0 + \alpha C D) / (X + \alpha t) \quad (3)$$

M_t : t 日後の汚泥重金属濃度 [g/g dry]、 M_0 : $t=1$ 日後の汚泥重金属濃度、

α : 重金属除法率、 C : 流入重金属濃度 [g/m^3]、 D : 希釈率、 X : MLSS [g/m^3]、

α : 汚泥増殖率 [$\text{g/m}^3 \cdot \text{日}$]

汚泥増殖率は無機性土壤粒子も微生物と一体となって重金属を吸着濃縮する力を有すると考えてMLSSとしての余剰汚泥量(処理水SSを含む)を考える。

又最終沈殿池に存在する汚泥量には変動が無く定常を仮定している。図-5より汚泥濃度を低く維持した方が重金属濃度の変化率が大きく、汚泥濃度を高く維持したものは変化率が小さくかつ定常になるのに時間がかかることが解る。

以上の考えではMLSS濃度が重金属除去率に影きようしないという仮定が必要である。それに対して回分馴養過程ではあるがMLSSと α の関係を示したのが図-7であり、重金属除去率はある有機物負荷以上では大きな差はないと言える(データは文献4における実験結果によるものである)。一方汚泥の増殖率が一定にもかかわらず汚泥引抜率:余剰汚泥量/(曝気槽内汚泥量+増殖汚泥量)が変動した場合についての例が図-6である。これは図-5の場合と同様のパターンを示していると言える。

(2) 経日及び通年変動の実際例

経日変動の代表例として銅について図-

8に示す。計算値1は(3)式において同じ図中に示したMLSSと増殖率の変動値を用い、晴天時通日調査結果より $\alpha = 0.6$ 、 $C = 0.03$ 、 M_0 として137(5月16日)、流量の変動は小さかつたので $D = 4.7$ として計算したものである(返送は関与しないと仮定)。6月12日を除いて計算値が実測値と良く合っていると言える。6月15日の重金属濃度が合わないのは6月12日の先行無降雨日数24日間の降雨5.5mmによるものと考えられる。その根拠として、比較的小さな降雨により

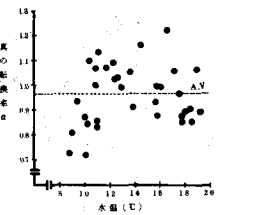


図-4 水温と α の関係(1973.1~1977.8)

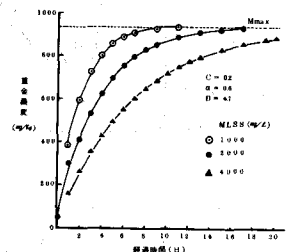


図-5 MLSSの違いと重金属濃度変化

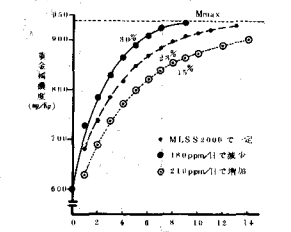


図-6 汚泥引抜率と重金属濃度変化

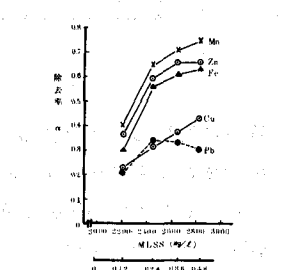


図-7 重金属除去率とMLSSの関係

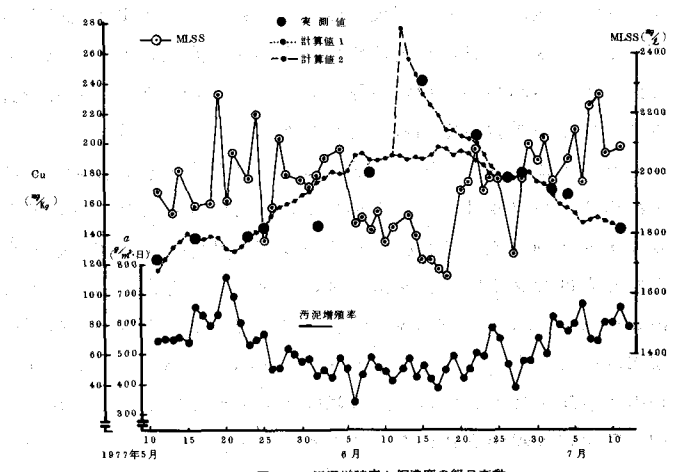


図-8 汚泥増殖率と銅濃度の経日変動

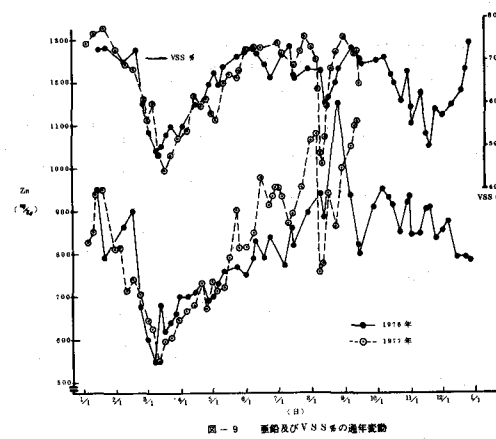


図-9 亜鉛及びVSSの通年変動

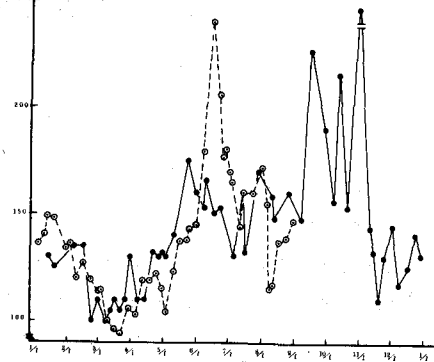


図-10 銅の通年変動

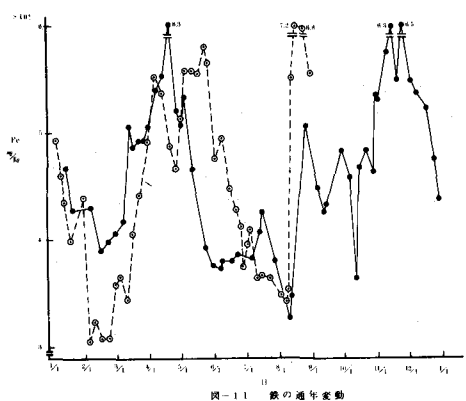


図-11 鉄の通年変動

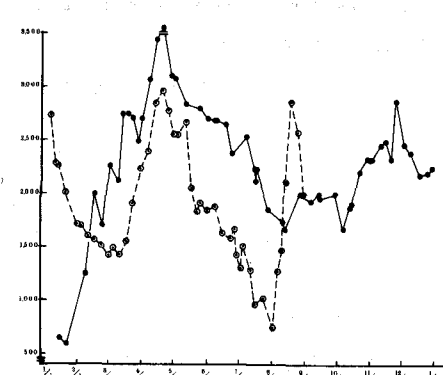


図-12 マンガンの通年変動

管内に沈積していた高濃度の重金属を含む微粒子が流入することや、例えば SS 400 (mg/l)としてその SS に含まれる銅濃度が 100 (mg/Kg) とすると²⁾それだけで晴天時の 2 倍の流入重金属濃度となることになる。そこで 6 月 12 日の流入銅濃度として 0.1 PPM を用いて計算すると計算値 2 のようになり 6 月 12 日以降の実測値が良く説明される。このような小さな降雨による銅濃度の変動は他にも数多く見られる現象であり、同時期の亜鉛についてもほぼ同様な傾向が見られた。一方大きな降雨においては下水そのものが希釀されると及び流入土壤粒子の重金属濃度が活性汚泥の重金属濃度にくらべてやや低いことなどにより亜鉛や銅濃度が低下する傾向がある。雨天時流入土壤粒子の影きようで最も特徴的な例として図-9, 10 に示すように 1977 年 8 月 9 日の降雨に伴なう火山灰の流入により一時的に大きな濃度低下を呈している。これらの事実からも都市環境内の環境汚泥としての雨天時土壤粒子(有機質部分をも含めて)の重要性を知ることができる。

図-9～12 よりまず第 1 に言えることは都市下水処理場における活性汚泥の重金属濃度は大きく変動しているということである。従がって一年に 1～2 回、或いは数回の測定値などでは汚泥重金属濃度の実体をつかむことはできないし、意義が薄いと考えざるを得ない。下水処理場における 1976 年より 1977 年 8 月までの傾向をみるといづれの重金属においても大略一定の変化パターンを示していると言えよう。又 4 種類の重金属全体としての一定の傾向は見られないで、それらの変動原因が簡単には説明され得ないことがわかる。

しかしながら鉄、マンガンにおいては良い相関が見られる(図-13)。

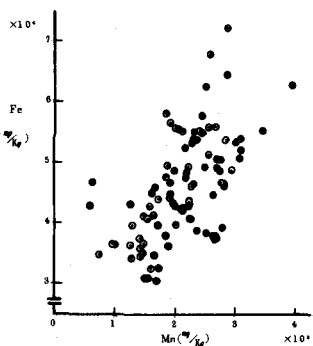


図-13 活性汚泥の鉄、マンガン濃度の相関

これは鉄、マンガンの物理化学的性質の共通性の結果と見ることができ、自然界での挙動としてよくみられるものである。特に3月後半より4～5月にピークを示しているのは地下水の水質変動と大きな関係があると思われ、春の雪解による地表面からの表流水の浸透過程での2価鉄及びマンガンイオンの溶出（溶脱）によるものと考えられる（S処理場の場合流入下水量の約50%が地下水となっている）。このように地下水或いは水道水の水質変動が水利用に伴なう水質変化と重なって活性汚泥の重金属濃度変動へとつながっていることは興味深い事実であり、それは盛岡⁵⁾による「水一環境汚泥」系の管理、計画論とともに自然現象と都市現象を一体としてみるとことの重要性を意味するものであろう。

(3) 汚泥増殖率及び都市の質と汚泥重金属濃度

札幌市S下水処理場における昭和51年1月より52年8月までの20ヶ月間のひと月毎の平均汚泥増殖率（余剰汚泥発生量）と平均汚泥重金属濃度の関係を示したのが図-14、15である。高級処理水量の差を考慮して横軸は $D/a \times 10^{-4}$ とした。亜鉛及び銅濃度はいづれも汚泥増殖率と大略傾向を示していると言える。これらの図において勾配は重金属除去量 αC を表わすものと考えることができるので図の結果より αC の変動、特にCの変動が大きいもとと考えられる。又汚泥増殖率 a の中には無機性土壤粒子も含まれておりその量と質の変動がある（季節や降雨状況の違いにより）とともに図中データのバラツキの原因と考えられる。尚汚泥増殖率を有機性余剰汚泥発生量で考えて同様のプロットをすると亜鉛、銅いづれの場合にもより以上のバラツキを示した。

次に先に示したようにS処理場とは大きく余剰汚泥発生量が異なるO処理場の汚泥重金属濃度について比較検討する。(3)式において定常状態を考えれば $M = \alpha CD/a$ となる。今亜鉛を想定して $\alpha = 0.6$ で変わらないとすれば、S処理場の場合、流入濃度として通日の荷重平均値測定例より $C = 0.2 \text{ ppm}$ 、昭和51年1月より20ヶ月の平均値として $D \approx 5.06$ 、 $a \approx 7.57$ を用いると $M_S = 6.70 (\text{mg/Kg})$ となる。同様にO処理場の場合、 $\alpha = 0.6$ 、 $C \approx 0.1$ 、昭和52年2月より6ヶ月平均で $D \approx 0.333$ 、 $a \approx 1.91$ を用いて計算すると $M_O = 1.045 (\text{mg/Kg})$ となる。それに対して実測値はそれぞれ $M_S \approx 6.80$ 、 $M_O \approx 9.20$ であるからほぼ予測計算値と合致していると言える。銅の場合もO処理場の場合平均 $1.80 (\text{mg/Kg})$ でS処理場にくらべて高い値となっている。流入重金属濃度が低いにもかかわらずO処理場の汚泥重金属濃度が流入濃度の高いS処理場より高いということは正に汚泥の量と質の関係で理解された。当然ながらO処理場の汚泥増殖率がS処理場と同程度になった場合には汚泥の重金属濃度が現在のおよそ2分の1以下という低い値になることが予想される。いづれにしてもO処理場の汚泥重金属濃度が、汚泥増殖率の低さにもかかわらずそれ程高い値ではないということはO市が未だ余裕のある田園都市であることが理由として考えられよう。

一方S市のように年々急速な人口の増大と都市化の進行は都市下水処理場の活性汚泥重金属濃度に一体どのような変化をもたらすであろうか。以下都市の質と汚泥重金属のかかわりということで雨天時流出土壤粒子の重金属濃度について検討する。図-16はS下水処理場排水区域における採取地点の異なる雨天時流出土壤粒子(210μ 以下)の重金属濃度を示したものである。S下水処理場排水区域は南北に細長く市中心部が南端に位置しており、各採取地点は最も市中心部近くに存在する雨水吐室A、中継ポンプ場B、S下水処理場

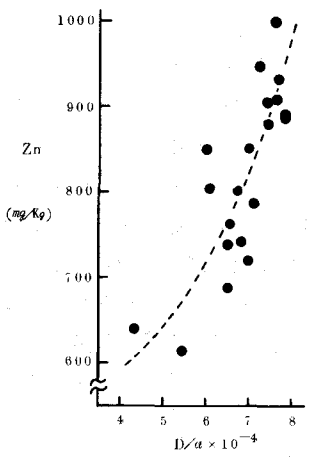


図-14 D/a と亜鉛濃度の関係

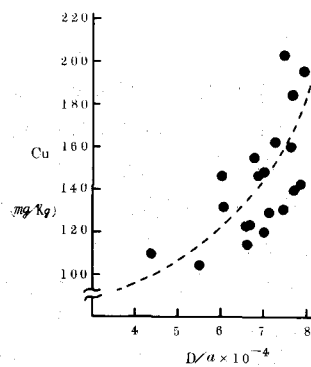


図-15 D/a と銅濃度の関係

C 郊外の住宅団地中継ポンプ場Dとなっている。横軸は都心部からの距離、都市活動度密度、利用人口密度、或いは時間(年)などを想定することができる。データはいづれも降雨に至るまでの状況及び降雨強度がほぼ同じものについてであり、各土壤粒子の強熱減量百分率は重金属濃度と相関を有している^{6), 2)}。又降雨強度が異なれば各地点において縦軸の重金属濃度が変動するという関係が得られているがそれらについては別の機会に報告する予定である。

5 おわりに

余剰汚泥の量を水温や維持管理条件及び下水の質などを考慮して把握することが汚泥重金属濃度について考える上で重要であることが明らかにされた。複雑で多様な都市活動の結果、都市施設としての下水処理場より発生する汚泥の量と質を正しく認識することが下水道システムのOver allな機能を把握することになると考えられる。又その下水汚泥の土壤帰還を考えれば下水処理場すなわち下水汚泥重金属濃度は都市と自然の両方のモニターとして捉えることもできよう。本論文では検討できなかった経年変動や「都市一水一汚泥一自然」系における下水道システムのより定量的な考察は今後の課題である。最後に〇市は下水汚泥を嫌気性消化の後100%農地還元していることを付記し、又本研究をするにあたり札幌市創成川下水処理場の皆様及び帯広市帯広川下水処理場の皆様には多大な便宜をいただいたことを記し謝意を表す。

参考文献

- 1) 寺町、高桑；汚泥発生量の水温効果について 第32回土木学会年講 昭和52年
- 2) 寺町、高桑；合流式下水道システムにおける重金属流出と下水汚泥重金属濃度 第13回衛生工学研究討論会講演論文集 昭和51年1月
- 3) 寺町、神山；活性汚泥による重金属の濃縮に関する研究 下水道協会誌 vol. 11, No. 127 (昭49)
- 4) 寺町、神山；下水汚泥重金属濃度の評価に関する研究 第12回衛生工学研究討論会論文集 昭50.1
- 5) 盛岡、山田、末石；現存特性からみた汚泥環境に関する基礎的研究 水処理技術 vol. 16, No. 9 (1975)
- 6) 盛岡、末石；消費とともに金属の排出と蓄積に関する研究 第12回衛生工学研究討論会講演論文集

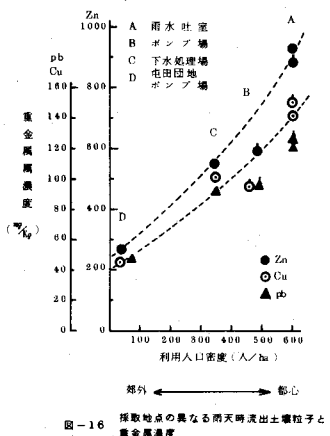


図-16 採取地点の異なる雨天時汚出土壠粒子と重金属濃度

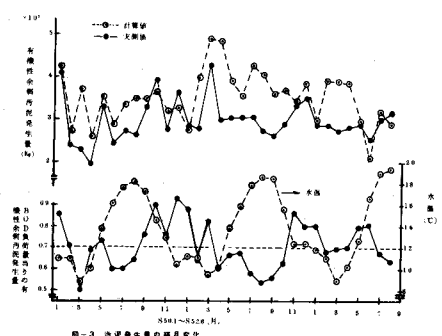


図-3 内河発生量の逐月変化